

CP 破坏和 $K^\pm \rightarrow \pi^\pm \gamma\gamma$ 衰变

高道能

中科大交叉学科理论研究中心

1. 分立时空对称性 C, P, T 及其破缺
2. 标准模型中的 CP 破坏
3. $K^\pm \rightarrow \pi^\pm \gamma\gamma$ 衰变中的 CP 破坏
4. 结论

* 主要参考文献:

A. J. Buras, hep-ph/0101336;

Y. Nir, hep-ph/0109090;

D. N. Gao, hep-ph/0212280.

1. 分立时空对称性及其破缺

P: 空间反演变换 $\vec{x} \rightarrow -\vec{x}$ (宇称)

T: 时间反演变换 $t \rightarrow -t$

C: 电荷共轭变换 正反粒子转换

"反粒子可以理解成正粒子沿时间轴向右移动"

系统具有上述对称性 就是指系统的物理定律
在上述变换下保持不变.

理论上可以证明, 对于一个具有 Lorentz 不变性, 厄密性的定域
的量子场论系统. CPT 联合变换不变 CPT 定理
迄今为止的实验也没有 CPT 联合变换对称破缺的迹象.

1956年以前, 人们相信对物理定律 C.P.T 是分
别守恒的.

* τ - θ 之谜 和 弱相互作用宇称不守恒

$$\begin{cases} \theta \rightarrow 2\pi & (P \text{ even}) \\ \tau \rightarrow 3\pi & (P \text{ odd}) \end{cases}$$

τ, θ 具有完全相同的质量和寿命 $\xrightarrow{\text{宇称守恒}}$ 不同的宇称

$\tau = \theta \Rightarrow$ 宇称不守恒 Lee, Yang, 1956

^{60}Co 实验记录 C.S. Wu, et al.

\Rightarrow 弱相互作用 $\not\equiv$
 $\not\equiv$

CP 联合守恒 (1964年以前)

* 1964. Christenson, Cronin, Fitch, Turlay.

$$\begin{array}{ccc} \not\equiv & & K \rightarrow 2\pi \\ \xrightarrow{\text{CPT定理}} & & \not\equiv \end{array}$$

* 1998. CERN/CLEAR 合作组 $\not\equiv$

(!) C. P. T 的破缺只在弱相互作用中被发现
却一直为强作用和电磁作用所遵从

2. 标准模型中的 CP 破坏

* 场及拉氏量的 CP 变换性质

	$\bar{\psi}_i \psi_j$	$i \bar{\psi}_i \gamma^5 \psi_j$	$\bar{\psi}_i \gamma^m \psi_j$	$\bar{\psi}_i \gamma^m \gamma^5 \psi_j$
CP	$\bar{\psi}_j \psi_i$	$-i \bar{\psi}_j \gamma^5 \psi_i$	$-(-1)^m \bar{\psi}_j \gamma^m \psi_i$	$-(-1)^m \bar{\psi}_j \gamma^m \gamma^5 \psi_i$
	S	P	A^m	∂
CP	S	-P	$-(-1)^m A^m$	$(-1)^m \partial$

拉氏量 Lorentz 不变 厄密

场和导数的组合 \xrightarrow{CP} 该组合的厄米共轭

如果该类所有组合前的系数是实数或所有可能出现的组合其厄米共轭就是它自身。则拉氏量的厄米性要求该拉氏量 CP 不变。

反之则 CP 不一定必须是拉氏量的对称性

Lytikawa:

$$Y_{ij} \bar{\psi}_{Li} \phi \psi_{Rj} + Y_{ij}^* \bar{\psi}_{Rj} \phi^+ \psi_{Li} \quad (\text{厄米})$$

$$\bar{\psi}_{Li} \phi \psi_{Rj} \xleftrightarrow{CP} \bar{\psi}_{Rj} \phi^+ \psi_{Li}$$

$$\text{则 CP 不变要求 } Y_{ij} = Y_{ij}^*$$

CP 破坏 ~~过程~~ CP 共轭的过程有不同的衰变率

* 标准模型中的 CP 破坏

$$\mathcal{L}_{SM} = \mathcal{L}_{kinetic} + \mathcal{L}_{Higgs} + \mathcal{L}_{Yukawa}$$

$$\mathcal{L}_{kinetic}(\psi_L) = i \bar{\psi}_L \gamma^\mu D_\mu \psi_L$$

$$D_\mu \psi_L = \left(\partial_\mu + \frac{i}{2} g_s G_a^\mu \lambda^a + \frac{i}{2} g W_b^\mu \tau_b + \frac{i}{6} g' B^\mu \right) \psi_L$$

... CP 不变

$$\mathcal{L}_{Higgs} = \mu^2 \phi^\dagger \phi - \lambda (\phi^\dagger \phi)^2$$

... CP 不变

$$\begin{aligned} \mathcal{L}_{Yukawa} = & - Y_{ij}^d \bar{\psi}_{Li} \phi d_{Rj} - Y_{ij}^u \bar{\psi}_{Li} \tilde{\phi} u_{Rj} \\ & - Y_{ij}^l \bar{l}_{Li} \phi l_{Rj} + h.c. \end{aligned}$$

复数的 $Y_{ij}^d, Y_{ij}^u, Y_{ij}^l$ CP 破坏的来源

自发对称破缺 $\langle \phi \rangle = \frac{v}{\sqrt{2}}$

$$\mathcal{L}_M = - (M_d)_{ij} \bar{d}_{Li} d_{Rj} - (M_u)_{ij} \bar{u}_{Li} u_{Rj} - (M_e)_{ij} \bar{l}_{Li} l_{Rj} + h.c.$$

$$M_f = \frac{v}{\sqrt{2}} Y^f$$

$$\psi_L = \begin{pmatrix} u_L \\ d_L \end{pmatrix} \quad l_L = \begin{pmatrix} \nu_L \\ e_L \end{pmatrix}$$

中微子无质量

为得到物理的夸克和轻子质量

$$V_{fL} M_f V_{fR}^{\dagger} = M_f^{diag} \quad (\text{对角且是实的})$$

$$d'_{Li} = (V_{dL})_{ij} d_{Lj} \quad d'_{Ri} = (V_{dR})_{ij} d_{Rj}$$

$$u'_{Li} = (V_{uL})_{ij} u_{Lj} \quad u'_{Ri} = (V_{uR})_{ij} u_{Rj}$$

$$l'_{Li} = (V_{eL})_{ij} l_{Lj} \quad l'_{Ri} = (V_{eR})_{ij} l_{Rj}$$

$$V_{Li} = (V_{DL})_{ij} V_{Lj}$$

可以是任意矩阵

$V_{fL} V_{fR}$ 是么正矩阵

味改变耦合

$$\mathcal{L}_W = -\frac{g}{\sqrt{2}} \bar{u}_{Li} \gamma_{\mu} d_{Lj} W^{\mu} + h.c. \quad CP \text{ 不变}$$

↓

$$\mathcal{L}_W = -\frac{g}{\sqrt{2}} \bar{u}_{Li} \gamma^{\mu} \underline{(V_{uL} V_{dL}^{\dagger})_{ij}} d_{Lj} W^{\mu} + h.c.$$

（对应于轻子部分，因 V_{eL} 可以任取， $V_{eL} V_{eL}^{\dagger} = 1$ ✓）

$$V_{CKM} = V_{uL} V_{dL}^{\dagger} \quad V_{CKM} V_{CKM}^{\dagger} = 1$$

如 V_{CKM} 不是一个实数矩阵 则 CP 破坏

$$u = \begin{pmatrix} u \\ c \\ t \end{pmatrix} \quad d = \begin{pmatrix} d \\ s \\ b \end{pmatrix}$$

V_{CKM} $N \times N$ 么正矩阵
 N : generation 数

$N \times N$ 的么正矩阵允许

$$\frac{N(N-1)}{2} \text{ 实参数} \qquad \frac{N(N+1)}{2} \text{ 相因子}$$

夸克场可以携带相因子。即

$$V_{CKM} \rightarrow P_u V_{CKM} P_d^*$$

$$P_u = \begin{pmatrix} e^{i\delta_u} & & \\ & e^{i\delta_c} & \\ & & e^{i\delta_t} \end{pmatrix} \qquad P_d = \begin{pmatrix} e^{i\delta_d} & & \\ & e^{i\delta_s} & \\ & & e^{i\delta_b} \dots \end{pmatrix}$$

可以任意变化的相对相因子 $2N-1$

相因子数目:

$$\frac{N(N+1)}{2} - (2N-1) = \frac{(N-1)(N-2)}{2}$$

$N \geq 3$

$N=3$

唯一的一个相因子 δ

$N=3$

$$V_{CKM} = \begin{pmatrix} V_{ud} & V_{us} & V_{ub} \\ V_{cd} & V_{cs} & V_{cb} \\ V_{td} & V_{ts} & V_{tb} \end{pmatrix}$$

标准模型中 CP 破缺的
唯一来源

通常有两种参数化方法

$$C_{ij} = \cos \theta_{ij} \qquad S_{ij} = \sin \theta_{ij}$$

$$V = \begin{pmatrix} C_{12} C_{13} & S_{12} C_{13} & S_{13} e^{-i\delta} \\ -S_{12} C_{23} - C_{12} S_{23} S_{13} e^{i\delta} & C_{12} C_{23} - S_{12} S_{23} S_{13} e^{i\delta} & S_{23} C_{13} \\ S_{12} S_{23} - C_{12} C_{23} S_{13} e^{i\delta} & -S_{23} C_{12} - S_{12} C_{23} S_{13} e^{i\delta} & C_{23} C_{13} \end{pmatrix}$$

Wolfenstein 参数 (近似的)

$$V = \begin{pmatrix} 1 - \frac{\lambda^2}{2} & \lambda & A\lambda^3(\rho - i\eta) \\ -\lambda & 1 - \frac{\lambda^2}{2} & A\lambda^2 \\ A\lambda^3(1 - \rho - i\eta) & -A\lambda^2 & 1 \end{pmatrix}$$

3. $K^\pm \rightarrow \pi^\pm \gamma\gamma$ 衰变中的 CP 破坏

* 标准模型的有效贡献

$\Delta S=1$ 的有效哈密顿量 for $K \rightarrow \pi \gamma\gamma$

$$\mathcal{H}_{\text{eff}}^{\Delta S=1} = \frac{G_F}{\sqrt{2}} \sum_i C_i Q_i \quad (\text{dominant 的贡献})$$

强子化

Q_i : 一系列的有效算符

C_i : Wilson 系数 (包含 CKM 矩阵元 V_{ij})

Weak chiral Lagrangian:

$$\mathcal{L}^{\Delta S=1} = \mathcal{L}_2^{\Delta S=1} + \mathcal{L}_4^{\Delta S=1} + \dots$$

$$\mathcal{L}_2^{\Delta S=1} = -G_8 f_\pi^4 \langle \lambda_6 D_\mu U^\dagger D^\mu U \rangle$$

$$\mathcal{L}_4^{\Delta S=1} = G_8 f_\pi^2 \sum_i N_i W_i$$

$$W_i = W_i(U, U^\dagger, F)$$

$$U, U^\dagger \left\{ \begin{array}{l} K \\ \pi \\ \eta \end{array} \right. \text{ 介子}$$

N_i : 系数

CP 观测量 for $K^{\pm} \rightarrow \pi^{\pm} \gamma \gamma$

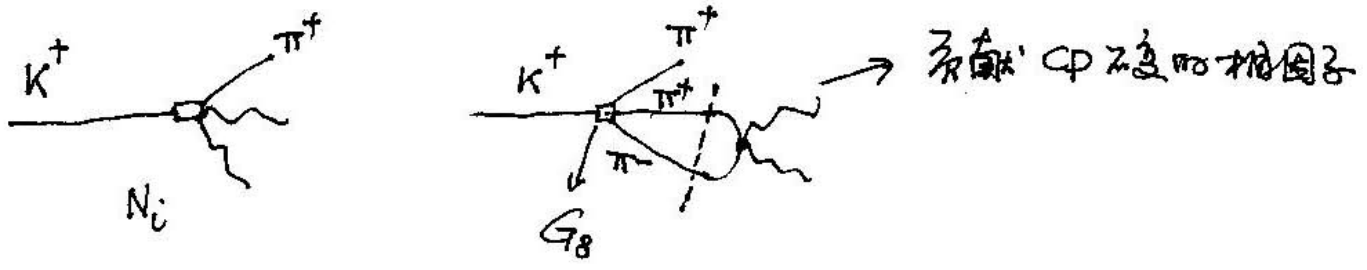
$$\frac{\delta\Gamma}{2\Gamma} = \frac{|\Gamma(K^+ \rightarrow \pi^+ \gamma \gamma) - \Gamma(K^- \rightarrow \pi^- \gamma \gamma)|}{\Gamma(K^+ \rightarrow \pi^+ \gamma \gamma) + \Gamma(K^- \rightarrow \pi^- \gamma \gamma)}$$

如果振幅只包含来自弱作用的贡献, 则观测量的

反线性 $\Rightarrow \frac{\delta\Gamma}{2\Gamma} = 0$ 则无法知道 CP 破坏与否

这就要求振幅中必须包含有 CP 不变的相因子部分.

来自强或电磁顶角的贡献



$$M(K^+(k) \rightarrow \pi^+(p) \gamma(q_1, \epsilon_1) \gamma(q_2, \epsilon_2))$$

$$= \epsilon_{1\mu} \epsilon_{2\nu} (q_2^\mu q_1^\nu - q_1^\mu q_2^\nu) g^{\mu\nu} \frac{A^+(\beta, \gamma)}{m_K^2}$$

$$\beta = \frac{k \cdot (q_1 - q_2)}{m_K^2} \quad \gamma = \frac{(q_1 + q_2)^2}{m_K^2}$$

$$A^+(\beta, \gamma) = \frac{G_8 m_K^2 \alpha_{EM}}{2\pi\gamma} \left[(\gamma_\pi^2 - 1 - \beta) F\left(\frac{\beta}{\gamma_\pi^2}\right) + (1 - \gamma_\pi^2 - \beta) F(\beta) + \hat{C}(\beta, \gamma) \right]$$

$$F(x) = \begin{cases} 1 - \frac{4}{x} \arcsin^2\left(\frac{\sqrt{x}}{2}\right) & x \leq 4 \\ 1 + \frac{1}{x} \left(\ln \frac{1 - \sqrt{1 - 4/x}}{1 + \sqrt{1 - 4/x}} + i\pi \right)^2 & x \geq 4 \end{cases}$$

$$\gamma_\pi = \frac{m_\pi}{m_K}$$

$$\hat{C} = \frac{128\pi^2}{3} [3(L_9 + L_{10}) + N_{14} - N_{15} - 2N_{18}]$$

$$A^-(\beta, \gamma) = A^+(\beta, \gamma) [\hat{C} \leftrightarrow \hat{C}^*]$$

$$\delta\Gamma = |\Gamma(K^+ \rightarrow \pi^+ \gamma\gamma) - \Gamma(K^- \rightarrow \pi^- \gamma\gamma)|$$

$$= \frac{|G_F \alpha_{EM}|^2 m_K^5}{2^{10} \pi^5} \text{Im} \hat{C} \int_{4\chi_\pi^2}^{(1-\chi_\pi^2)} dz \lambda^{1/2}(1, z, \chi_\pi^2) (\chi_\pi^2 - 1 - z) z \text{Im} F(z/\chi_\pi^2)$$

$\text{Im} \hat{C} \leftrightarrow \text{Im}(N_{14} - N_{15} - 2N_{18})$ from CKM phase

$$\Rightarrow \left(\frac{\delta\Gamma}{2F}\right)^{SM} < 10^{-4} \quad (\text{Conservative estimation})$$

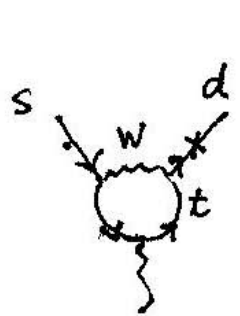
* Electromagnetic penguin 算符の寄与 ... Beyond the standard Model

$$\mathcal{L}_{\text{eff}}^{\text{EMO}} = C_\gamma^+ Q_\gamma^+ + C_\gamma^- Q_\gamma^- + h.c.$$

$$Q_\gamma^\pm = \frac{e Q_d}{16\pi^2} (\bar{S}_L \sigma_{\mu\nu} d_R \pm \bar{S}_R \sigma_{\mu\nu} d_L) F^{\mu\nu}$$

C_γ^\pm : Wilson 系数 (可以是 Complex, 新しい CP の来源)
 $Q_d = -1/3, \quad \sigma_{\mu\nu} = i/2 [\gamma_\mu, \gamma_\nu]$

在标准模型中



$$\frac{G_F}{\sqrt{2}} V_{td} V_{ts}^* C_{12} \frac{e}{8\pi^2} (m_d \bar{S}_L \sigma_{\mu\nu} d_R + m_s \bar{S}_R \sigma_{\mu\nu} d_L) F^{\mu\nu} + h.c.$$

High order 寄与 很小的
 の寄与算符が主

Beyond the standard Model. (4番及2.12)

$$\mathcal{L}_{\text{eff}} \sim C_i^{\text{new}} Q_i^{\text{new}} \quad \text{の寄与} \quad \text{dim 6}$$

$$C_i^{\text{new}} \sim \frac{1}{\Lambda^2}$$

$$+ C_\gamma^\pm Q_\gamma^\pm + h.c. \quad \text{dim 5}$$

$$C_\gamma^\pm \sim \frac{1}{\Lambda}$$

Λ : New mass scale
 可能 dominant

$$\text{Im } \hat{c} \leftrightarrow \text{Im } C_\gamma^+ \text{ or } \text{Im } C_\gamma^-$$

$$\Rightarrow \left(\frac{\delta\Gamma}{2\Gamma} \right)^{\text{EMO}} \sim 1.0 \times 10^4 \text{ GeV} |\text{Im } C_\gamma^+|$$

Supersymmetry models one-loop. gluino-squark mediate

$$C_{\gamma, \text{SUSY}}^\pm = \frac{\pi \alpha_s (m_{\tilde{g}})}{m_{\tilde{g}}} \left[(\delta_{LR}^D)_{21} \pm (\delta_{LR}^D)_{12}^* \right] F_{\text{SUSY}}(x_{g\tilde{q}})$$

flavour changing parameters

$m_{\tilde{g}}$: gluino mass $x_{g\tilde{q}} = \frac{m_{\tilde{g}}^2}{m_{\tilde{q}}^2} \rightarrow$ squark mass

$$F_{\text{SUSY}}(x) = \frac{4x(1+4x-5x^2+4x \ln x + 2x^2 \ln x)}{3(1-x)^4}$$

$$C_{\gamma, \text{SUSY}}^\pm \propto \frac{1}{m_{\tilde{g}}}$$

$$m_{\tilde{g}} = 500 \text{ GeV} \quad \frac{m_{\tilde{g}}}{m_{\tilde{q}}} \sim 1$$

$$\Rightarrow |\text{Im } C_\gamma^+| = 2.4 \times 10^{-4} \left| \text{Im} [(\delta_{LR}^D)_{21} \pm (\delta_{LR}^D)_{12}^*] \right| \text{ GeV}^{-1}$$

Lattice 计算 结合 $B_s (K_L \rightarrow \pi^0 e^+ e^-)$ 实验值

$$\Rightarrow \left| \text{Im} [(\delta_{LR}^D)_{21} \pm (\delta_{LR}^D)_{12}^*] \right| < 1.0 \times 10^{-3} \text{ (95\% C.L.)}$$

$$\Rightarrow \left(\frac{\delta\Gamma}{2\Gamma} \right)^{\text{EMO}} < \text{a few } \times 10^{-3}$$

4. 结论:

对于 $K^\pm \rightarrow \pi^\pm \gamma\gamma$.

$$\left(\frac{\delta\Gamma}{2\Gamma}\right)^{SM} < 10^{-4}$$

Almost model independently

$$\left(\frac{\delta\Gamma}{2\Gamma}\right)^{EMO} \sim 1.0 \times 10^4 \text{ GeV} |Im C_T^+|$$

在 SUSY models 中 现有的实验测量导致的约束

允许

$$\left(\frac{\delta\Gamma}{2\Gamma}\right)^{EMO} \sim 10^{-3}$$

因此对 $K^\pm \rightarrow \pi^\pm \gamma\gamma$ 的 CP 破坏的精确测量可能用来寻找新物理. 且 $\left(\frac{\delta\Gamma}{2\Gamma}\right) \sim 10^{-3}$ 信号就标志着新物理的迹象